

ФИЗИЧЕСКАЯ ОПТИКА

УДК 535.14

ПСЕВДОТУННЕЛЬНЫЕ ФОТОПЕРЕХОДЫ В ГЕТЕРОСТРУКТУРАХ С КВАНТОВЫМИ ЯМАМИ. III. ДВУХФОТОННЫЙ ПЕРЕНОС ЗАРЯДА МЕЖДУ ЯМАМИ

© 2014 г. Е. Ю. Перлин^{***}, доктор физ.-мат. наук; А.А. Попов^{*}, аспирант

^{*}Санкт-Петербургский национальный исследовательский университет информационных технологий, механики и оптики, Санкт-Петербург

^{**}Санкт-Петербургский государственный политехнический университет, Санкт-Петербург

E-mail: eyerlin@mail.ru

Рассмотрены фотопереходы в гетероструктуре, содержащей глубокие квантовые ямы различной ширины, разделенные непроницаемым для туннелирования барьером. С помощью формализма туннельного гамильтониана в четвертом порядке теории возмущений получены выражения для скоростей двухфотонных переходов электронов между состояниями в верхней подзоне размерного квантования валентной зоны в широкой яме и нижней подзоной зоны проводимости в узкой яме.

Ключевые слова: туннелирование с участием фотонов, надбарьерные переходы, глубокие примесные центры, квантовые ямы.

Коды OCIS: 190.4180, 190.7220, 190.4720.

Поступила в редакцию 12.05.2014.

Введение

В предыдущих работах авторов был рассмотрен новый механизм фотозарядки примесей в барьере гетероструктуры с глубокими квантовыми ямами (КЯ) – однофотонные [1] и многофотонные [2] псевдотуннельные фотопереходы. В настоящей работе рассмотрен еще один случай реализации псевдотуннельного механизма фотоиндуцированного переноса заряда, а именно, двухфотонные переходы с переносом заряда между различными КЯ. Расчет вероятностей переходов будет выполнен в четвертом порядке теории возмущений – два порядка по взаимодействию электронной системы с лазерным излучением, один порядок по туннельному гамильтониану и еще один порядок по электрон-фононному взаимодействию, которое, в отличие от работ [1, 2], здесь приходится учитывать явным образом. При рассмотрении процессов высоких порядков, как правило, возникают серьезные трудности, связанные с необходимостью учета множества каналов, появляющихся из-за необходимости суммирования амплитуд процессов по промежуточным виртуальным

состояниям. К счастью, специфика данной задачи позволяет достаточно просто выделить единственный канал, дающий основной вклад в вероятности переходов.

Вероятности двухфотонных переходов между квантовыми ямами

Рассмотрим полупроводниковую структуру с двумя глубокими КЯ с шириной a_1 и a_2 (области A и C на рис. 1), разделенными барьером (область B с шириной z_0). Предполагается, что $a_1 > a_2$, а также, что $l_{\text{tun}} < z_0 < l$, где l – длина свободного пробега электронов, l_{tun} – максимальная ширина барьера, проницаемого для туннелирования. Предполагается также, что гетероструктура относится к типу I, глубины обеих ям для электронов и дырок составляют ΔE_c и ΔE_v соответственно. Ширину запрещенной зоны в области A обозначим через E_g^A , а в области барьера B – через E_g^B . Все энергии отсчитываем от дна зоны проводимости с в области B. Тогда для вероятности двухфотонного перехода электрона из верхней подзоны размерного квантования в КЯ A для дырок в нижнюю

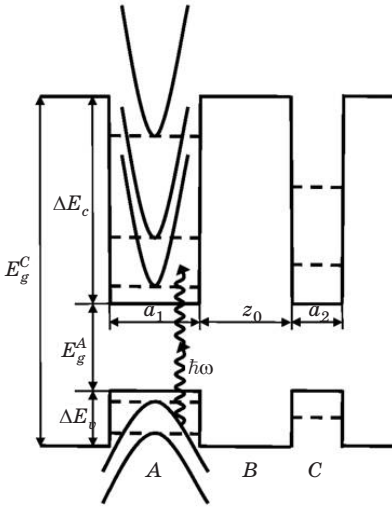


Рис. 1. Зонная схема двухфотонного поглощения с переносом заряда между квантовыми ямами. Пояснения в тексте.

подзону размерного квантования в яме C для электронов получим

$$W_{v_1A,c_1C}^{(2)} = \frac{2\pi}{\hbar} \sum_{\mathbf{k}_\parallel, \mathbf{q}} \left| Q_{v_1A,c_1C}(\mathbf{k}_\parallel, \mathbf{q}) \right|^2 \times \\ \times \left\{ f[E_{v_1A}(\mathbf{k}_\parallel)] - f[E_{c_1C}(\mathbf{k}_\parallel - \mathbf{q})] \right\} \times \\ \times \delta[E_{v_1A}(\mathbf{k}_\parallel) - E_{c_1C}(\mathbf{k}_\parallel - \mathbf{q}) + 2\hbar\omega - \hbar\omega_l], \quad (1)$$

где ω – частота света, $\hbar\omega_l$ – энергия оптического фонона, \mathbf{k}_\parallel – волновой вектор для движения электрона в плоскости КЯ, $E_{i,j}(\mathbf{k}_\parallel)$ – кинетическая энергия электрона (дырки) в j -й подзоне i -й зоны J -й ямы, \mathbf{q} – волновой вектор фонона, $f[E_{i,j}(\mathbf{k}_\parallel)]$ – функции распределения для электронов в j -ой подзоне размерного квантования i -й зоны в J -й КЯ, $Q_{v_1A,c_1C}(\mathbf{k}_\parallel, \mathbf{q})$ – составной матричный элемент перехода, который выражается следующим образом

$$Q_{v_1A,c_1C}(\mathbf{k}_\parallel, \mathbf{q}) = (H'_{\text{e-phot}})_{v_1\mathbf{k}_\parallel A, c_1\mathbf{k}_\parallel C} \times \\ \times (H'_{\text{e-phot}})_{c_1\mathbf{k}_\parallel A, c_2\mathbf{k}_\parallel A} T_{c_2\mathbf{k}_\parallel A, c_1\mathbf{k}_\parallel C} V_{c_1\mathbf{k}_\parallel C, c_1(\mathbf{k}_\parallel - \mathbf{q})C}^{\text{e-phon}} \times \\ \times [E_{v_1A}(\mathbf{k}_\parallel) - E_{c_1A}(\mathbf{k}_\parallel) + \hbar\omega] \times \\ \times [E_{v_1A}(\mathbf{k}_\parallel) - E_{c_2A}(\mathbf{k}_\parallel) + 2\hbar\omega] \times \\ \times [E_{v_1A}(\mathbf{k}_\parallel) - E_{c_1C}(\mathbf{k}_\parallel) + 2\hbar\omega + i\Gamma]^{-1}. \quad (2)$$

В формулах (1, 2) Γ – затухание, которое вводится феноменологически,

$$E_{v_1A}(\mathbf{k}_\parallel) = -E_g^B + \Delta E_v - E_{v_1A}^{(0)} - \hbar^2 k_\parallel^2 / (2m_v), \\ E_{c_{1,2}A}(\mathbf{k}_\parallel) = -\Delta E_c + E_{c_{1,2}A}^{(0)} + \hbar^2 k_\parallel^2 / (2m_c), \quad (3) \\ E_{c_1C}(\mathbf{k}_\parallel) = -\Delta E_c + E_{c_1C}^{(0)} + \hbar^2 k_\parallel^2 / (2m_c),$$

m_c и m_v – эффективные массы электрона и тяжелой дырки, $(H'_{\text{e-phot}})_{ik\parallel I, jk\parallel J}$ – матричные элементы взаимодействия электронной подсистемы со светом, которое, как и в работе [2] выберем в виде

$$H'_{\text{e-phot}} = eE\mathbf{n}_\kappa \cdot \mathbf{X}, \quad (4)$$

где e и m – заряд и масса свободного электрона, E – напряженность электрического поля световой волны, \mathbf{n}_κ – единичный вектор поляризации света, \mathbf{X} – оператор координаты электрона, межзонные и внутризонные матричные элементы которого определяются выражениями

$$\langle cn'\mathbf{k}_\parallel | \mathbf{n}_\kappa \cdot \mathbf{X} | vnk_\parallel \rangle = \mathbf{n}_\kappa \cdot \mathbf{X}_{cv} \delta_{n'n} \quad (5)$$

$$X_{vc} = i\hbar \sqrt{\frac{3}{2} \left(\frac{1}{m_c} - \frac{1}{m} \right) \frac{E_g^A + \Delta_{SO}}{E_g^A (3E_g^A + 2\Delta_{SO})}}, \quad (6)$$

$$\begin{aligned} \langle cn'\mathbf{k}_\parallel | \mathbf{n}_\kappa \cdot \mathbf{X} | vnk_\parallel \rangle = & \frac{4a}{\pi^2} n_z \frac{n'n}{n'^2 - n^2} \times \\ & \times [1 - (-1)^{n'+n}] (1 - \delta_{n'n}) \delta(\mathbf{k}'_\parallel - \mathbf{k}_\parallel) + \\ & + \frac{\partial}{\partial \mathbf{k}'_\parallel} \delta(\mathbf{k}'_\parallel - \mathbf{k}_\parallel) \mathbf{n}_\parallel \delta_{n'n}, \end{aligned} \quad (7)$$

где n_z и \mathbf{n}_\parallel – компоненты вектора \mathbf{n} вдоль оси роста наноструктуры, Δ_{SO} – спин-орбитальное расщепление потолка валентной зоны, $T_{c_2\mathbf{k}_\parallel A, c_1\mathbf{k}_\parallel C}$ – матричные элементы гамильтонiana переноса, оценка которых дает

$$T_{c_2\mathbf{k}_\parallel A, c_1\mathbf{k}_\parallel C} \sim \frac{\hbar^2}{m_c a_1 a_2} \times \\ \times \exp \left\{ -\frac{1}{\hbar} \sqrt{2m_c [\Delta E_c - E_{c_2A}^{(0)} - \hbar^2 k_\parallel^2 / (2m_c)]} z_0 \right\}, \quad (8)$$

$V_{ik\parallel I, jk\parallel J}^{\text{e-phon}}$ – матричные элементы оператора электрон-фононного взаимодействия. Мы для определенности рассматриваем взаимодействие электронов с продольными оптическими фононами. В этом случае

$$V_{c_1\mathbf{k}_\parallel C, c_1(\mathbf{k}_\parallel - \mathbf{q})C}^{\text{e-phon}} = \frac{1}{q} \sqrt{\frac{2\pi e^2 \hbar\omega_l}{\Omega \epsilon^*}}, \quad (9)$$

$$\frac{1}{\epsilon^*} \equiv \frac{1}{\epsilon_\infty} - \frac{1}{\epsilon_0}, \quad (10)$$

где ϵ_∞ и ϵ_0 – высокочастотная и статическая диэлектрические проницаемости, Ω – нормировочный объем. Мы ограничиваемся для простоты случаем нулевых температур, когда возможно испускание, но не поглощение фононов. Очевидно, что оценки вероятностей переходов

в данном случае носят достаточно грубый характер, и в этом случае не имеет смысла углубляться в особенности электрон-колебательного взаимодействия (см., например, [3–6]) в системах с КЯ.

Из закона сохранения энергии для рассматриваемого процесса получим

$$E_{v_1A}(\mathbf{k}_\parallel) - E_{c_1C}(\mathbf{k}_\parallel - \mathbf{q}) + 2\hbar\omega - \hbar\omega_l = 0, \quad (11)$$

$$\begin{aligned} E_{c_1C}(\mathbf{k}_\parallel - \mathbf{q}) - E_{c_1C}(\mathbf{k}_\parallel) + \hbar\omega_l = \\ = \frac{\hbar^2}{2m_c} [(\mathbf{k}_\parallel - \mathbf{q})^2 - k_\parallel^2] + \hbar\omega_l < 0. \end{aligned} \quad (12)$$

Вводя обозначения

$$\begin{aligned} \delta &= E_{v_1A}(0) - E_{c_1C}(0) + 2\hbar\omega - \hbar\omega_l, \\ \gamma &= m_c/m_v, m_r = (m_c^{-1} + m_v^{-1})^{-1}, \lambda = \cos\theta, \quad (13) \\ y &= \hbar^2 k_\parallel^2 / (2m_c \delta), \lambda_0^2(y) = \gamma + 1 - y^{-1}, \end{aligned}$$

где θ – угол между векторами \mathbf{k}_\parallel и \mathbf{q} , получим из уравнения (11)

$$q_{1,2} = \frac{\sqrt{2m_c \delta y}}{\hbar} \left[\lambda \pm \sqrt{\lambda^2 - \lambda_0^2(y)} \right], \quad (14)$$

$$\frac{\hbar^2}{2m_c} [(\mathbf{k}_\parallel - \mathbf{q})^2 - k_\parallel^2] = -\delta y \lambda_0^2(y). \quad (15)$$

Считаем для простоты, что все начальные состояния в верхней подзоне валентной зоны широкой ямы заполнены, а все конечные состояния в нижней подзоне зоны проводимости узкой ямы пусты. Тогда множитель, содержащий функции распределения, в фигурных скобках в правой части (1) обращается в единицу. Переходим в правой части (1) от суммирования к интегрированию. При интегрировании по \mathbf{q} используем сферическую систему координат с осью вдоль \mathbf{k}_\parallel . Интеграл по $\mathbf{q} = |\mathbf{q}|$ вычисляем с помощью δ -функции. Интегрирование по углам, которое упрощается в силу того, что составной матричный элемент процесса не зависит от них, дает множитель

$$2\pi \ln \frac{1 + \sqrt{1 - \lambda_0^2(y)}}{\lambda_0(y)} \equiv 2\pi \eta(y). \quad (16)$$

Окончательно имеем для вероятности переходов на единицу площади КЯ

$$\begin{aligned} W_{v_1A, c_1C}^{(2)} / S &= \frac{\sqrt{2}e^2}{(2\pi)^2 \epsilon^* m_c^{1/2} a_1^2 a_2^2 (\hbar\omega_l)^{9/2}} \times \\ &\times \left| V_{v_1A, c_1A}^{\text{e-phot}} V_{c_1A, c_2A}^{\text{e-phot}} \right|^2 \Xi(\delta_l), \end{aligned} \quad (17)$$

где

$$\Xi(\delta_l) = \frac{1}{\delta_l^{11/2}} \int_{y_l}^{y_u} \eta(y) \left| \exp[-W(y)z_0] \right|^2 \Upsilon(y)^{-2} dy, \quad (18)$$

$$\delta_l = \frac{\delta}{\hbar\omega_l}, y_l = \frac{1 + \delta_l}{\delta_l(\gamma + 1)}, y_u = \gamma^{-1}, \delta_l < \gamma, \quad (19)$$

$$\begin{aligned} \Upsilon(y) &= \left[\frac{Z_1}{\delta_l} - (\gamma + 1)y \right] \times \\ &\times \left[\frac{Z_2}{\delta_l} - (\gamma + 1)y \left[\frac{1 + i\Gamma_l}{\delta_l} - y\lambda_0^2(y) \right] \right], \end{aligned} \quad (19)$$

$$\Gamma_l = \Gamma / (\hbar\omega_l),$$

$$Z_1 = \frac{\hbar\omega - E_g^A + \Delta E_c + \Delta E_v - E_{v_1A}^{(0)} - E_{c_1A}^{(0)}}{\hbar\omega_l},$$

$$Z_2 = \frac{2\hbar\omega - E_g^A + \Delta E_c + \Delta E_v - E_{v_1A}^{(0)} - E_{c_2A}^{(0)}}{\hbar\omega_l}, \quad (20)$$

$$\Delta E_{c_2l} = (\Delta E_c - E_{c_2A}^{(0)}) / (\hbar\omega_l),$$

$$W = \frac{1}{\hbar} \sqrt{2m_c (\Delta E_c - E_{c_2A}^{(0)} - \delta y)}. \quad (21)$$

Для того чтобы вероятность перехода не содержала экспоненциально малого туннельного фактора, необходимо превышение δ над пороговым значением

$$\delta \geq \delta_{th} = (\gamma + 1)(\Delta E_c - E_{c_2A}^{(0)}). \quad (22)$$

Соответствующая пороговая частота света ω_{th} равна

$$\omega_{th} = \omega_{\min} + \frac{\gamma + 1}{2\hbar} (\Delta E_c - E_{c_2A}^{(0)}), \quad (23)$$

где

$$\omega_{\min} = \frac{1}{2\hbar} (E_g^B - \Delta E_v - \Delta E_c + E_{v_1A}^{(0)} + E_{c_1A}^{(0)}). \quad (24)$$

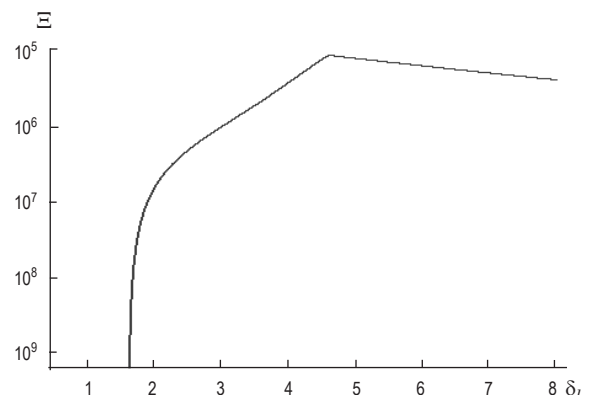


Рис. 2. Безразмерная функция $\Xi(\delta_l)$, определяющая зависимость вероятности двухфотонного переноса заряда от частоты света. Пояснения в тексте.

Типичный график безразмерной функции $\Xi(\delta_l)$ приведен на рис. 2. Использованы следующие значения параметров: $\gamma = 0,4$, $\Gamma_l = 0,8$, $Z_1 = -20$, $Z_2 = -6$, $\Delta E_{c_2l} = 4$, $z_0 = 10^{-5}$ см. На графике отчетливо видна эволюция от туннельного (участок быстрого роста функции с увеличением аргумента) к надбарьерному (почти плоский участок со слабым убыванием) переходу между ямами.

Заключение

Таким образом, в работе рассмотрен новый тип оптических переходов в гетероструктуре с зонной схемой типа I с глубокими квантовыми ямами – двухфотонные псевдотуннельные переходы с переносом заряда между различными квантовыми ямами. Были рассчитаны вероятности таких переходов и определены пороговые частоты, выше которых процессы перестают характеризоваться туннельно малой амплитудой. Простые оценки с использованием полученных

формул показывают, что в случае лазерных импульсов с длительностями в наносекундном диапазоне для существенного изменения зарядового состояния системы требуются напряженности электрического поля световой волны порядка 10^5 В/см. Понятно, что в таких полях должен проявиться и ряд других процессов нелинейного поглощения, а также может произойти смещение электронных уровней в квантовых ямах из-за появления “встроенных” электрических полей, возникающих благодаря перераспределению зарядов в гетероструктуре. Подробное рассмотрение кинетики указанных процессов представляет собой отдельную, весьма сложную задачу.

Статья подготовлена в рамках проектной части государственного задания на выполнение научно-исследовательской работы (Задание № 3.821.2014/К), а также при государственной финансовой поддержке ведущих университетов Российской Федерации (субсидия 074-U01) и РГФИ, (грант 09-02-00223).

* * * * *

ЛИТЕРАТУРА

1. Перлин Е.Ю., Попов А.А. Псевдотуннельные фотопереходы в гетероструктурах с квантовыми ямами. I. Фотозарядка глубоких примесей в барьере // Оптический журнал. 2014. Т. 81. № 7. С. 3–6.
2. Перлин Е.Ю., Попов А.А. Псевдотуннельные фотопереходы в гетероструктурах с квантовыми ямами. II. Многофотонные процессы // Оптический журнал. 2014. Т. 81. № 10. С. 3–6.
3. Ricker H., Molinari E., Lugli P. Electron-phonon interaction in quasi-two-dimensional systems // Phys. Rev. B. 1991. V. 44. № 7. P. 3463–3466.
4. Nash K.J. Electron-phonon interactions and lattice dynamics of optic phonons in semiconductor heterostructures // Phys. Rev. B. 1992. V. 46. № 12. P. 7723–7744.
5. Trallero-Giner C., Comas F. Electron-LO-phonon interaction in semiconductor double heterostructures // Phys. Rev. B. 1988. V. 37. № 9. P. 4583–4588.
6. Trallero-Giner C., Comas F., Garsia-Moliner F. Polar optical modes and electron-phonon interaction in semiconductor nanostructures // Phys. Rev. B. 1994. V. 50. № 3. P. 1755–1759.